

# بهبود کنترل بازوی رباتیک به کمک کنترل کننده تطبیقی Mdl مرجع با استفاده از طبقه‌بندی سیگنال‌های EMG

مهسا برفی، حمیدرضا کرمی، الهام فراهی، فاطمه فریدی و سید منوچهر حسینی پیلانگرگی

یکی از روش‌های آزمایشگاهی برای ثبت سیگنال‌های عضلات بدن، الکتروموگرافی است. الکتروموگرافی، مطالعه فعالیت الکتریکی عضله است. مطالعه عضله از این دیدگاه می‌تواند برای فراهم کردن اطلاعات مربوط به کنترل حرکات ارادی و بازتابی، بسیار بالرزش باشد. مطالعه فعالیت عضله هنگام اجرای یک کار ویژه می‌تواند اطلاعاتی در خصوص نوع عضلات در گیر، زمان شروع و علت فعالیت عضلات در اختیار قرار دهد. به علاوه، مقدار پاسخ الکتریکی عضلات در طول فعالیت تعیین می‌شود [۲].

سیگنال الکتروموگرام (EMG) نمایش سیگنال الکتریکی عضله است که با قراردادن الکترودهای حساس روی عضله که قادر به اندازه‌گیری مجموع تغییر ولتاژ مربوط به تمام پتانسیل‌های عمل فیبرهای عضلانی هستند، مشخص می‌شود. به عبارت دیگر، سیگنال الکتریکی که در طول هر فیبر عضلانی منتشر می‌شود، پتانسیل عمل واحد حرکتی نامیده می‌شود و سیگنال EMG عبارت است از اندازه‌گیری پتانسیل عمل. سیگنال EMG بسیار پیچیده و ترکیبی از پتانسیل‌های عمل چندگانه همه واحدهای حرکتی فعالی است که روی یکدیگر قرار گرفته‌اند [۲]. خلاصه پردازش‌های فیزیولوژیکی فعالیت عضله نشان می‌دهد که سیگنال EMG می‌تواند نشان‌دهنده میزان فعالیت عضله باشد و بنابراین این سیگنال می‌تواند برای مطالعه هماهنگی و کنترل حرکت مورد استفاده قرار گیرد [۳].

یکی از جدیدترین و مهم‌ترین کاربردهای تجزیه و تحلیل سیگنال EMG، استفاده از آن در مدل‌سازی حرکات بیومکانیکی بدن و کنترل اندام‌های رباتیک یا پروتزی است [۴] و [۵]. در ادامه، برخی از مهم‌ترین پژوهش‌های انجام‌شده در زمینه کنترل اندام‌های مصنوعی، رباتیک یا پروتزی، بررسی می‌شود.

یکی از روش‌های استفاده از سیگنال EMG برای کنترل بازوی رباتیک، کلاس‌بندی داده EMG مربوط به حرکات مختلف بازو با هدف ایجاد ارتباط آماری و ریاضی معنادار بین الگوهای حرکتی از پیش تعریف شده و ویژگی‌های سیگنال EMG حاصل از حرکت عضلات است. در [۶]، امکان طبقه‌بندی چندکلاسه سیگنال‌های EMG به دست آمده از یک برد جمع‌آوری داده کوچک‌سازی شده بررسی می‌شود. کلاس‌بندی از طریق شبکه‌های عصبی مصنوعی که بر اساس داده آموزش یافته‌اند، انجام شده است. لازم به ذکر است که روش‌های مبتنی بر شبکه‌های عصبی برای الگوریتم یادگیری عصبی با روش محاسباتی سنگینی دارند.

در [۷]، یک بازوی رباتیک که برای حمل اشیا و جابه‌جایی بلوهای چوبی در نظر گرفته شده است، با استفاده از سیگنال EMG کنترل می‌شود. در این مرجع، از فیدبک بصری برای کنترل عملکرد این بازو

چکیده: هدف این مقاله، بهبود کنترل بازوی رباتیک به کمک کنترل کننده تطبیقی مدل مرجع مبتنی بر نظریه لیاپانوف با استفاده از طبقه‌بندی سیگنال‌های الکتروموگرام (EMG) است. در این مقاله، بازوی انسان با یک ربات دو درجه آزادی مدل‌سازی شده است. روش کنترلی پیشنهادی، کنترل کننده تطبیقی مدل مرجع است. ماحصل این پژوهش، طراحی و شبیه‌سازی بازوی رباتیک به همراه کنترل کننده تطبیقی مدل مرجع است که با استفاده از طبقه‌بندی داده‌های EMG ثبت‌شده از حرکات بازوی انسان، متجه به ردبایی مناسب سیگنال مرجع، فراجهش و خطای حالت ماندگار کمتر در مقایسه با کنترل کننده مرسوم PI شده است. بدین منظور ابتدا داده‌های EMG با استفاده از دو الکترود از عضلات دلتونید قدامی و دلتونید میانی بازوی پنج دختر و با انجام دو حرکت دورشدن (ابداکشن) و خم‌شدن (فلکشن) بازو جمع‌آوری شده و پس از رفع نویز، ویژگی‌های ریاضی انتگرال مقدار مطلق، گذر از صفر، واریانس و فرکانس میانه از آنها استخراج می‌شود. سپس کلاس‌بندی به روش آنالیز تشخیصی خطی به منظور تشخیص حرکات بر اساس ویژگی‌های داده‌ها صورت می‌گیرد. در نهایت، مدل و سیستم کنترل کننده پیشنهادی با توجه به ویژگی‌های سیگنال EMG برای دستیابی به پاسخ کنترلی مناسب، طراحی می‌شوند و سیگنال فرمان مناسب جهت انجام حرکت مربوطه به کنترل کننده ارسال می‌شود. نتایج و مقادیر خطاهای حاصل شده نشان می‌دهند که انتباخت رفتار مدل و کنترل کننده حاصل با الگوی از پیش تعریف شده حرکتی قابل توجه و مورد تأیید است.

**کلیدواژه:** الکتروموگرافی، آنالیز تشخیصی خطی، ربات دو درجه آزادی، کنترل کننده تطبیقی مدل مرجع.

## ۱- مقدمه

هدف از طراحی و ساخت یک اندام پروتزی، ایجاد حداقل تشابه رفتاری با اندام‌های انسانی است. در صورتی که سیگنال‌های حاصل از عملکرد عضلات بدن، ثبت شوند، می‌توانند فعالیت عضلات را نمایان کرده و در مدل‌سازی و کنترل اندام‌های پروتزی به کار گرفته شوند [۱].

این مقاله در تاریخ ۱۲ آبان ماه ۱۴۰۰ دریافت و در تاریخ ۱۸ اردیبهشت ماه ۱۴۰۱ بازنگری شد.

مهسا برفی، دانش‌آموخته، گروه مهندسی برق، دانشکده فنی و مهندسی، دانشگاه پولی‌سینا، همدان، ایران، (email: m.barfif@eng.basu.ac.ir).

حمدیرضا کرمی (نویسنده مسئول)، گروه مهندسی برق، دانشکده فنی و مهندسی، دانشگاه بولی‌سینا، همدان، ایران، (email: hamidr.karami@basu.ac.ir).

الهام فراهی، دانش‌آموخته، گروه مهندسی برق، دانشکده فنی و مهندسی، دانشگاه بولی‌سینا، همدان، ایران، (email: elham.farahi1372@gmail.com).

فاطمه فریدی، دانش‌آموخته، گروه مهندسی برق، دانشکده فنی و مهندسی، دانشگاه بولی‌سینا، همدان، ایران، (email: fateme.faridi@gmail.com).

سید منوچهر حسینی پیلانگرگی، گروه مهندسی برق، دانشکده فنی و مهندسی، دانشگاه بولی‌سینا، همدان، ایران، (email: m.hosseini@basu.ac.ir).

در یک محیط مجازی بر روی پنج فرد سالم آزمایش می‌شود. در پژوهش‌های قبلی، جهت کنترل بازو، نیاز به پردازش‌های آماری سنتگین مانند پردازش تصویر و شناسایی حرکت بوده و همچنین تعداد الکترودها و حرکات در برخی تحقیقات، تعداد کافی استفاده نشده است. در این پژوهش، کنترل بازوی رباتیک با استفاده از کنترل‌کننده تطبیقی مدل مرجع که دارای مزایایی از جمله قابلیت تطبیق رفتار کنترلی سیستم با تغییر نقطه کار و تغییر نوع حرکت آن است، صورت گرفته و نیازی به پردازش‌های آماری سنتگین ندارد. به علاوه بازوی انسان با یک ربات دو درجه آزادی مدل‌سازی شده است. بنابراین مسئله اصلی در این تحقیق، ایجاد تشابه حداکثری بین حرکات بازوی رباتیک و بازوی انسان با کمک تحلیل و آنالیز سیگنال‌های EMG و توسعه مدل و کنترل کننده مناسب است. در این پژوهش، بر اساس سیگنال‌های EMG اندازه‌گیری شده از عضلات حرکتی بازو که به صورت بهینه جمع‌آوری، تحلیل و ارزیابی شده‌اند، سیستم مکاترونیک طراحی شده مقاصد حرکتی بازو را تشخیص می‌دهد. برای کنترل بازوی رباتیک، کنترل کننده تطبیقی مدل مرجع مبتنی بر نظریه لیاپانوف که دارای مزایایی از جمله تضمین پایداری حلقه بسته و عملکرد مطلوب در حضور نامعینی‌های مدل، پارامترهای متغیر با زمان، اختشاش و نویزهای نامعلوم می‌باشد، طراحی و پیاده‌سازی شده است. همچنین پاسخ کنترلی این کنترل کننده، دارای مزایایی از جمله ردیابی مناسب سیگنال مرجع، سرعت پاسخ‌دهی مناسب، فراجهش و خطای حالت ماندگار کم می‌باشد. مدل‌سازی بازو نیز با استفاده از بازوی رباتیک در درجه آزادی، صورت گرفته است.

در این پژوهش از دستگاه الکتروموگرافی ۱۶ کاناله مدل MA-۳۰۰ و همکاری پنج دختر برای اجرای دو حرکت بازو، به منظور ثبت سیگنال‌های EMG استفاده شده است. سپس فیلترهایی جهت رفع نویز به سیگنال اعمال گردیده و سیگنال‌های EMG ذخیره شده است. سیگنال‌های ذخیره شده به کمک نرمافزار MATLAB پردازش شده و ویژگی‌های انتگرال مقدار مطلق<sup>۱</sup> (IAV)، گذر از صفر<sup>۲</sup> (ZC)، واریانس<sup>۳</sup> (VAR) و فرکانس میانه<sup>۴</sup> (MDF) از آن استخراج شده و کلاس‌بندی به روش آنالیز تشخیصی خطی<sup>۵</sup> (LDA) به منظور تشخیص حرکات بر اساس ویژگی‌های داده‌ها، صورت می‌گیرد. سپس مدل و سیستم کنترل پیشنهادی با توجه به ویژگی‌های سیگنال‌های EMG برای دستیابی به پاسخ کنترلی مناسب، طراحی می‌شوند. بنابراین بعد از این که طبقه‌بندی LDA با استفاده از سیگنال‌های EMG، حرکت بازو را تشخیص داد، طبق حرکت تشخیص داده شده، سیگنال فرمان مناسب (زاویه بازو متناسب با حرکت مورد نظر) به کنترل کننده ارسال شده و حرکت بازو انجام می‌شود. در واقع از سیگنال‌های EMG، در طبقه‌بندی جهت تشخیص نوع حرکت و در نهایت ارسال فرمان مناسب به کنترل کننده استفاده شده است.

در این مقاله، در بخش ۲ روش جمع‌آوری و پردازش داده‌ها، استخراج ویژگی‌های ریاضی و طبقه‌بندی آنها مطرح می‌گردد. در بخش ۳ به روش مدل‌سازی بازوی رباتیک و معادلات ریاضی، روند انجام پژوهش و ایده پیشنهادی پرداخته می‌شود. بخش ۴ به شبیه‌سازی و تحلیل نتایج پرداخته و بخش ۵ شامل جمع‌بندی پژوهش است.

3. Integral of Absolute Value

4. Zero Crossing

5. Variance

6. Median Frequency

7. Linear Discriminant Analysis

استفاده شده است. این سیستم در دو حالت تست می‌شود که شامل تکرار حرکت در نور کامل و در تاریکی است. در شرایط تاریکی، فیدبک بصری تحت تأثیر قرار می‌گیرد و لازم است که فیدبک دیگری برای رفع خطأ در اختیار ربات قرار گیرد.

اخيراً دستگاه‌های EMG قابل پوشش طراحی شده‌اند که قادر به شناسایی چندین حرکت هستند، اما ایراد اصلی این سیستم‌ها هزینه بالا، اندازه و پیچیدگی آنها می‌باشد. در [۸]، یک سیستم ساده، سریع و کم‌هزینه برای تشخیص حداقل چهار حرکت بازو با استفاده از فقط یک الکترود سطحی، ارائه شده که تعداد الکترودها کافی نمی‌باشد.

در [۹]، یک دست مصنوعی تجهیز شده با فیدبک EMG برای انجام اعمال دستوری مدل‌سازی شده است. سیستم کنترل مجتمع توسعه‌یافته شامل دو زیرسیستم، یکی مربوط به کنترل حرکت و دیگری مربوط به سنسورها است. ضمن این که اطلاعات بصری حاصل از پردازش تصویر نیز در اختیار کنترلر قرار می‌گیرد. بنابراین، این روش نیازمند پردازش‌های سنتگینی مانند پردازش تصویر می‌باشد.

در [۱۰]، سیگنال‌های EMG عضلات بازوی انسان به عنوان یک رابط کنترلی بین انسان و بازوی رباتیک به کار گرفته شده‌اند. از یک مدل ریاضی آموزش‌یافته برای رمزگشایی حرکات بازو با استفاده از سیگنال‌های EMG ثابت شده استفاده می‌شود. این روش نیاز به تطبیق تدریجی مدل توسعه‌یافته با سیگنال واقعی دارد.

در [۱۱] با هدف بهبود وضعیت حرکتی افراد معلول که دارای مشکل حرکتی در بازو و دست هستند، نمونه اولیه دست و بازوی رباتیک مبتنی بر سیگنال الکتروموگرام طراحی شده است. در طراحی این سیستم، ۳ شاخه از دانش مورد بررسی قرار می‌گیرد که شامل بیوالکتریک (برای ثبت سیگنال‌های جیاتی)، نرمافزار و میکروکنترلرهای (برای ثبت و پردازش داده‌ها) و مکاترونیک (طراحی ساختار مکانیکی و حرکت‌ها) می‌باشد. حرکات پیچیده و پیوسته انسان، ترکیبی از زیرحرکات ساده و ترتیبی هستند و بنابراین در این پژوهش، نیاز به شناسایی این زیرحرکات بوده است.

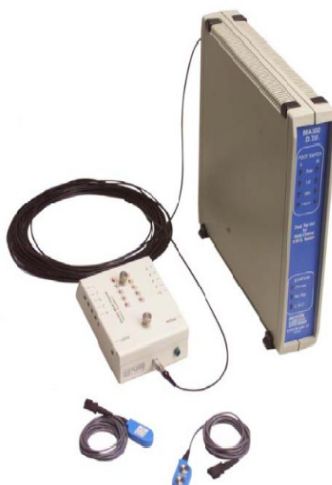
در [۱۲]، فناوری‌های کلیدی اخیر کنترل مبتنی بر سیگنال‌های EMG برای ربات‌های توانبخشی دست بررسی شده است. سپس خلاصه‌ای از اصول فناوری‌های کنترل و روش‌های پردازش سیگنال‌های EMG که برای این دسته‌های رباتیک استفاده شده است، ارائه گردیده و کار آزمایشگاهی صورت نگرفته است.

در [۱۳]، امکان استفاده از تشخیص الگوی میوالکتریک برای کنترل یک دست رباتیک در بیماران سکته مغزی بررسی می‌شود. تشخیص الگوی میوالکتریک از شش الگوی حرکتی دست با استفاده از سیگنال‌های الکتروموگرام ساعد از ۸ فرد دچار سکته شده، انجام گردیده است. برای ارزیابی عملکرد شناسایی الگوی میوالکتریک آفلاین، از دو روش<sup>۶</sup> RCV و<sup>۷</sup> CHV استفاده شده است.

در [۱۴]، یک سیستم آزمایشگاهی شامل دست مصنوعی Pisa/IIT و یک استراتژی کنترلی همزمان و تناسبی برای نگاشت حرکات دست انسان و دست رباتیک، طراحی شده است. روش کنترلی بر اساس ترکیب الگوریتم‌های فاکتوریزاسیون ماتریس نامتفاوت و رگرسیون خطی است. در این روش یک جبران‌ساز حرکتی مبتنی بر سیگنال‌های EMG نیز طراحی شده که برای پوشش عدم قطعیت‌ها به کار گرفته می‌شود. این الگوریتم

1. Random Cross Validation

2. Chronological Handout Validation



شکل ۲: دستگاه الکتروموگرافی ۱۶ کاناله مدل MA-۳۰۰ به همراه الکترودهای سطحی آن [۱۶].

این آزمایش، این الکترود بر روی استخوان پیشانی قرار داده شد. تماس الکتریکی خیلی خوب الکترود مرجع با پوست، بسیار مهم است. به این منظور الکترود زمین آغشته به ژل لوپریکانت بر روی پیشانی قرار داده شد [۲].

(۵) فرد باید دو حرکت دورشدن (ابداکشن) و خمیدن (فلکشن) بازو را که در ادامه بررسی می‌شود، انجام دهد.

(۶) با استفاده از نرمافزار WinDaq Recording and Playback سیگنال‌های حاصل به فرمت WDQ ثبت می‌شوند. این نرمافزار برای نمایش و آنالیز اولیه سیگنال و ثبت آن به صورت چند کاناله به کار گرفته می‌شود.

در این پژوهش برای ثبت سیگنال‌های EMG، فرکانس نمونه‌برداری ۲۰۰۰ هرتز، پهنای باند ۱۲۵۰ هرتز، امپدانس ورودی ۱۰۰ مگاهم، پری آمپلی‌فایر با گین برابر ۱۰۰۰ و CMRR برابر ۱۰۰ دسی‌بل انتخاب شدند. دامنه سیگنال می‌تواند از ۰ تا ۱۰ میلی‌ولت (قله تا قله) و جذر متوسط مربع (RMS) آن از ۰ تا ۱/۵ میلی‌ولت باشد. انرژی قابل استفاده سیگنال در محدوده فرکانس ۰ تا ۵۰۰ هرتز است که انرژی غالب آن در محدوده ۰ تا ۱۵۰ هرتز قرار دارد [۳].

حرکات دورشدن (ابداکشن) و خمیدن (فلکشن) بازو در شکل ۳ نمایش داده شده و نحوه انجام این حرکات به صورت زیر می‌باشد:

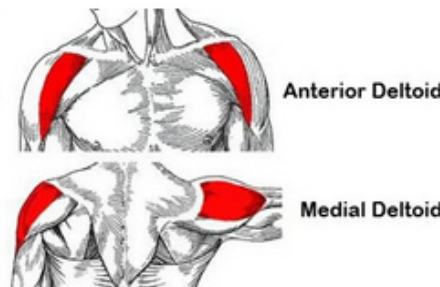
حرکت دورشدن (ابداکشن): حرکت جانبی استخوان بازو به سمت بالا و دور از بدن در سطح عرضی است.

حرکت خمیدن (فلکشن): حرکت استخوان بازو به صورت مستقیم به سمت جلو از هر نقطه در سطح سهیمی می‌باشد.

لازم به ذکر است که دامنه انجام این حرکات در این پژوهش تا زاویه ۹۰ درجه (قرارگرفتن شانه و آرنج در یک خط صاف) است.

## ۲-۲ استخراج ویژگی‌ها

از آنجا که سیگنال‌های EMG دارای ماهیت تصادفی و عدم ثبات هستند، باید سیگنال‌های متعدد جمع‌آوری شده و ویژگی‌های مختلفی از آنها استخراج شود تا توصیف حرکت ممکن گردد. سیگنال EMG ثبت شده به دلیل تأثیر عضلات جانبی و عوامل مختلف دیگر، پرنویز است که علاوه بر استفاده از فیلترهایی برای کاهش نویز در نرمافزار MATLAB، از محاسبه ویژگی‌های ریاضی آنها برای کاهش اثر نویز، استفاده شده است. در ادامه، ویژگی‌هایی که در این پژوهش در تحلیل



شکل ۱: عضلات دلتوئید قدامی و دلتوئید میانی بازوی انسان [۱۵].

## ۲- جمع‌آوری و پردازش داده‌ها، استخراج ویژگی‌های ریاضی و کلاس‌بندی

یکی از بخش‌های مهم این پژوهش، جمع‌آوری و پردازش داده‌های EMG از بازوی انسان، استخراج ویژگی‌های ریاضی و سپس طبقه‌بندی آنها است.

### ۱- جمع‌آوری داده‌های EMG

در این مقاله، سیگنال‌های EMG از بازوی پنج دختر جمع‌آوری شده است. تعداد این افراد و همچنین ویژگی‌های عضلانی آنها طبق پژوهش‌های ذکرشده در پیشینه و نظر متخصص الکتروموگرافی بررسی و در نظر گرفته شده است. سیگنال‌ها از طریق دو الکترود سطحی دوقطبی دستگاه الکتروموگرافی ۱۶ کاناله مدل MA-۳۰۰، روی عضلات دلتوئید قدامی<sup>۱</sup> و دلتوئید میانی<sup>۲</sup> بازو نصب شده‌اند و با استفاده از نرمافزار WinDaq Recording and Playback WDQ ثبت شده‌اند. این عضلات در شکل ۱ نمایش داده شده است. مراحل ثبت سیگنال به شرح زیر است:

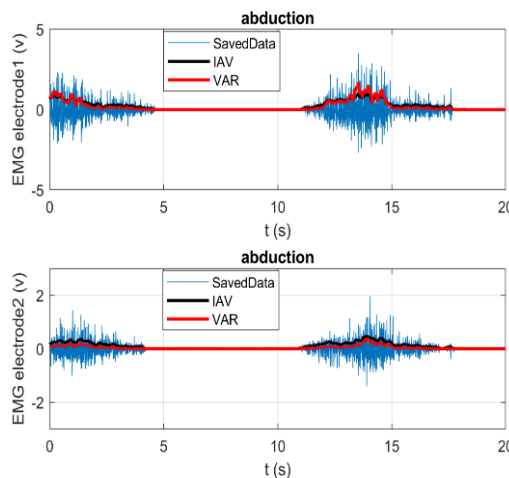
(۱) افراد باید لباس مناسبی پوشند، زیرا نیاز به دسترسی مستقیم به عضلات وجود دارد که ممکن است به واسطه لباس‌ها پوشیده شده باشد.

(۲) با نظر متخصص در زمینه الکتروموگرافی، موقعیت دقیق قرارگیری الکترودها بر روی عضله‌ها و پوست مشخص شد.

(۳) دو استراتژی کلیدی در آماده‌سازی پوست وجود دارد: (۱) تماس الکترود با پوست بایستی باثیات باشد و (۲) مقاومت پوست بایستی حداقل باشد [۳]. بنابراین در این مرحله، ابتدا موهای زاید نواحی مشخص شده بر روی پوست تراشیده شده و سطح پوست در این محدوده با پنبه آغشته به الکل پاکسازی شد تا الکترودها به سطح پوست بچسبند.

(۴) با استفاده از دو الکترود سطحی دوقطبی دستگاه الکتروموگرافی ۱۶ کاناله مدل MA-۳۰۰، سیگنال‌های EMG ثبت شدند. این دستگاه به همراه الکترودهای سطحی آن در شکل ۲ نمایش داده شده است. الکترود اول یا شماره ۱ بر روی عضله دلتوئید قدامی و الکترود دوم یا شماره ۲ بر روی عضله دلتوئید میانی بازو قرار داده شد و به منظور افزایش دقت و کاهش جایه‌جایی الکترودها از نوارچسب استفاده گردید. همچنین این دستگاه شامل یک الکترود زمین می‌باشد. برای قرارگیری الکترود مرجع معمولاً نزدیک‌ترین منطقه‌ای که از نظر الکتریکی خنثی است، انتخاب می‌شود که در

1. Anterior Deltoid
2. Medial Deltoid



شکل ۴: تأثیر ویژگی‌های ریاضی بر کاهش اثر نویز و دستیابی به فرم کلی سیگنال برای دو کanal ورودی.

تأثیر ویژگی‌های ریاضی IAV و VAR بر کاهش اثر نویز و دستیابی به فرم کلی سیگنال دوکاناله در شکل ۴ نمایش داده است. در این شکل، الکترود اول یا شماره ۱ سیگنال و ویژگی‌های آن برای عضله دلتوئید قدامی و الکترود دوم یا شماره ۲ مربوط به عضله دلتوئید میانی بازو می‌باشد. سیگنال اصلی به رنگ آبی و ویژگی‌های IAV و VAR به ترتیب به رنگ‌های مشکی و قرمز ترسیم شده است. همان طور که مشاهده می‌شود، منحنی ویژگی‌های سیگنال یعنی IAV و VAR به خوبی فرم کلی آن را نمایش می‌دهند.

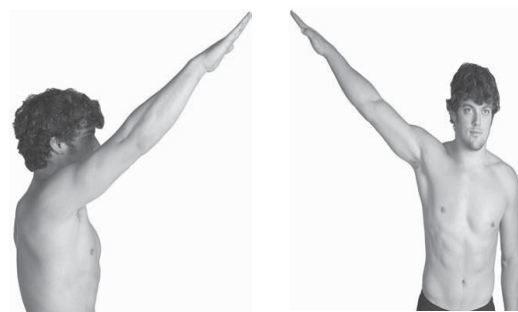
ویژگی‌های ZC و MDF نیز در جدول ۱ درج شده‌اند. این ویژگی‌ها به ترتیب برای سیگنال EMG حاصل از حرکت دورشدن (ابداشن)، الکترود شماره ۱ و ۲ و برای حرکت خمشدن (فلکشن)، الکترود شماره ۱ و ۲ محاسبه شده‌اند.

### ۳-۲ آنالیز ویژگی‌ها و کلاس‌بندی

هدف از طبقه‌بندی، تفکیک دو حرکت دورشدن (ابداشن) و خمشدن (فلکشن) بازو بر اساس ویژگی‌های استخراج شده از داده‌ها و تشخیص نوع حرکت برای داده‌های جدید، توسط طبقه‌بند می‌باشد. در این پژوهش، طبقه‌بندی حرکات بر اساس ویژگی‌های استخراج شده از داده‌ها به روش LDA [۱۹] و [۲۰] انجام شده که در این روش، مرز بین گروه‌های داده با خطوط مشخص می‌شود. طبقه‌بند LDA به صورت گسترده‌ای در طبقه‌بندی حرکات مورد استفاده قرار می‌گیرد [۲۱].

ایده اصلی LDA، جستجوی ماتریس طرح‌ریزی است که مجموعه داده اصلی را در یک دستگاه مختصات جدید قرار می‌دهد. پس از اعمال الگوریتم LDA، حجم داده‌ها به اندازه کافی سبک شده و محاسبات به سادگی امکان‌پذیر خواهد بود [۲۲]. این روش، نسبت پراکندگی بین کلاس به پراکندگی درون کلاس را به حداقل می‌رساند تا به بیشترین میزان تفکیک‌پذیری دست یابد [۲۳].

از مزایای استفاده از روش LDA می‌توان به پیاده‌سازی ساده و آسان، ساختار ساده و سرعت بالای آموزش آن اشاره کرد. در مقایسه این روش با شبکه‌های عصبی، می‌توان گفت که با به کارگیری ترکیبی از چند ویژگی، شبکه‌های عصبی دارای دقت بالاتر و انحراف استاندارد کمتری می‌باشند. اما ساختار شبکه‌های عصبی نسبت به طبقه‌بند LDA، پیچیده‌تر بوده و دارای حجم محاسباتی بالایی می‌باشد. همچنین دسترسی به دقت بالا در شبکه‌های عصبی نیازمند تعیین پارامترها و تنظیمات شبکه است [۲۱].



شکل ۳: حرکات (الف) دورشدن (ابداشن) و (ب) خمشدن (فلکشن) بازو [۱۷].

جدول ۱: ویژگی‌های ZC و MDF

	نوع حرکت	ZC	MDF
۱	ابداشن	۰.۲۲۱۴۶	۰.۲۲۴۰
۲	ابداشن	۰.۰۳۰۱۹۸	۱۱۸۵۰
۱	فلکشن	۰.۰۸۳۰۷	۰.۰۷۶۳
۲	فلکشن	۰.۰۰۶۲۶۳	۱۱۴۹۵

سیگنال بازو مورد استفاده قرار گرفته‌اند، بررسی می‌شوند. این ویژگی‌ها دارای خاصیت طبقه‌بندی خوبی هستند و استخراج ویژگی و کلاس‌بندی را به سادگی ممکن می‌سازند. همچنین بر اساس تحقیقات قبلی، از ویژگی‌های پرکاربرد در حوزه الکتروموگرافی می‌باشد [۱۸].

### ۲-۱ انتگرال مقدار مطلق (IAV)

این ویژگی طبق (۱) محاسبه می‌شود [۱۸]

$$IAV = \frac{1}{M} \sum_{i=1}^M |e_i| \quad (1)$$

در این معادله و (۲) و (۳) که در ادامه خواهند آمد،  $e_i$  نمونه  $i$  ام سیگنال ثبت شده و  $M$  تعداد کل نمونه‌ها در یک پنجه‌است. سیگنال خام با فرکانس ۲ کیلوهرتز نمونه‌برداری شده و با پنجه‌های زمانی ۱۰۰ میلی‌ثانیه، تقسیم‌بندی می‌شود. بنابراین  $M$  برابر با ۱۰۰ می‌باشد.

### ۲-۲ گذر از صفر (ZC)

متغیر ZC بیان کننده تعداد دفعاتی است که سیگنال از صفر عبور کرده و دامنه آن صفر شده است. این ویژگی از (۲) محاسبه می‌شود [۱۸]

$$ZC = \sum_{i=1}^M sign(-e_i e_{i+1}) \quad (2)$$

### ۲-۳ واریانس (VAR)

واریانس نمادی از توان سیگنال است و طبق (۳) محاسبه می‌شود [۱۸]

$$VAR = \frac{1}{M-1} \sum_{i=1}^M e_i^2 \quad (3)$$

### ۲-۴ فرکانس میانه یا (MDF)

این ویژگی میان فرکانسی است که در آن، طیف توان سیگنال به دو قسمت با توان مساوی تقسیم می‌شود. این معیار مطابق با (۴) محاسبه می‌شود

$$\int_{-MF}^{MF} P(\omega) d\omega = \int_{-MF}^{MF} P(\omega) d\omega = \frac{1}{2} \int_{-MF}^{MF} P(\omega) d\omega \quad (4)$$

در این معادله،  $P(\omega)$  چگالی طیف توان و  $\omega$  فرکانس است. در بررسی انجام شده در این پژوهش،  $< \omega > = ۵۰۰$  هرتز می‌باشد [۱۸].

نرم‌افزاری مناسب می‌باشد که یکی از پرکاربردترین این بسته‌ها، محیط SIM-Mechanics در نرم‌افزار MATLAB است.

### ۲-۳ شبیه‌سازی یک ربات دو درجه آزادی به همراه MATLAB

در بخش قبل، مدل سازی ربات دو درجه آزادی مطرح گردید که این مدل می‌تواند به دقت در کتابخانه SIM-Mechanics در نرم‌افزار MATLAB/Simulink پیاده‌سازی شود. برای مدل سازی و کنترل ربات باید زوایای چرخشی آن در نظر گرفته شود. در شکل ۶ بلوک دیاگرام شبیه‌سازی یک ربات دو درجه آزادی را می‌توان مشاهده نمود.

در این شبیه‌سازی برای حرکت دادن مفاصل از موتورهای DC و آمپلی‌فایر استفاده شده و مدل سازی اجزای مکانیکی سیستم، ممان اینرسی و گشتاورهای اجزا و عناصر نیز بر اساس کتابخانه SIM-Mechanics Mechanical Robotic Arm صورت گرفته است. قیود مکانیکی مربوط به میزان جابه‌جایی اجزا و سایر موارد نیز در این مدل سازی لحاظ شده است. خروجی‌های بازوی رباتیک مکانیکی به عنوان فیدبک به سیستم کنترل ارسال می‌شوند. کنترل کننده تطبیقی مدل مرجع (MRAS) در بلوک Controller پیاده‌سازی شده و بنابراین کنترل کننده Joint Angles Command و فیدبک بر اساس سیگنال مرجع از بلوک Joint Angles Command محرک مفاصل را حاصل از مدل مکانیکی، فرمان لازم برای موتورهای محرک مفاصل را ایجاد کرده و اثر چرخش موتورها در اجزای مکانیکی منجر به حرکت مفاصل می‌شود.

### ۳-۳ طراحی و پیاده‌سازی کنترل کننده PI و کنترل کننده تطبیقی مدل مرجع

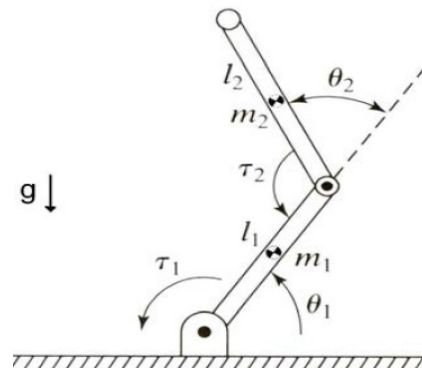
در این بخش، روش طراحی و پیاده‌سازی کنترل کننده‌های PI و تطبیقی مدل مرجع تشرییح می‌شود.

#### ۱-۳-۳ طراحی کنترل کننده PI

پیاده‌سازی کنترل کننده PI بر اساس بلوک PID دو درجه آزادی از سیمولینک MATLAB انجام شده است. پارامترهای اصلی کنترل کننده PI یعنی بهره تناسبی ( $K_p$ ) و بهره انگرالی ( $K_i$ ) هستند. در این پژوهش، ابتدا از روش زیگلر نیکلز برای طراحی کنترل کننده استفاده شده است. با توجه به این که بازوی رباتیک دارای دو مفصل می‌باشد، برای هر مفصل یک کنترل کننده PI طراحی و پیاده‌سازی می‌شود. معیار تصدقی طراحی، دستیابی به حدکثر ۵٪ فراجهش است. روش زیگلر نیکلز، روشی سرانگشتی و تقریبی است و الزاماً به کنترل بهینه متنج نمی‌شود و بنابراین در نهایت، طراحی کنترل کننده‌های مربوط به این مفاصل بر اساس PID-Tuner نرم‌افزار MATLAB انجام شده است.

#### ۲-۳-۳ طراحی کنترل کننده تطبیقی مدل مرجع

در این بخش طراحی کنترل کننده تطبیقی مدل مرجع، بر اساس روش لیاپانوف مورد بررسی قرار می‌گیرد. برای طراحی کنترل کننده تطبیقی مدل مرجع از روش‌های متنوعی شامل گرادیان، گرادیان نرم‌الیزه، لیاپانوف و پسویتی در تطبیق بهره استفاده می‌شود. روش لیاپانوف از این رو مورد استفاده قرار گرفته که مبتنی بر نظریه پایداری لیاپانوف بوده و پایداری حلقه بسته سیستم را تضمین می‌کند. ویژگی‌های ساختاری کنترل کننده تطبیقی مدل مرجع به روش لیاپانوف به شرح زیر است [۲۹]:



شکل ۶: ساختار مکانیکی بازوی رباتیک.

در این پژوهش، از روش اعتبارسنجی متقابل K-Fold که  $K = 5$  می‌باشد، برای تقسیم‌بندی داده‌ها به دو گروه آموزشی<sup>۱</sup> و آزمایشی<sup>۲</sup> استفاده شده است. در این روش به صورت تصادفی، داده‌ها به  $K$  گروه تقسیم می‌شوند که تعداد یکسانی از نمونه‌ها در هر گروه قرار می‌گیرند. سپس هر بار،  $K - 1$  زیرمجموعه به عنوان داده آزمایشی استفاده می‌شود. این فرایند  $K$  بار با تغییر داده‌های آموزشی و آزمایشی تکرار می‌گردد [۲۴] و [۲۵].

از آنجایی که دو حرکت در این پژوهش مورد بررسی قرار گرفته است، تعداد کلاس‌ها برابر با دو می‌باشد. برای ارزیابی کلاس‌بندی، ابتدا ماتریس‌های اغتشاش<sup>۳</sup>  $2 \times 2$  برای هر یک از پنج نفر به دست آمده و سپس دو معیار دقت<sup>۴</sup> و ویژگی<sup>۵</sup> [۲۶] و [۲۷] برای هر نفر محاسبه شده است. میانگین دقت و ویژگی برای پنج نفر مورد آزمایش، به ترتیب  $89.55\%$  و  $83.74\%$  می‌باشد. با توجه به تعداد افراد، مقادیر مناسبی حاصل شده که نشان‌دهنده دقت بالای روش LDA می‌باشد.

### ۳-۳ مدل سازی بازوی رباتیک با دو درجه آزادی به همراه طراحی کنترل کننده آن

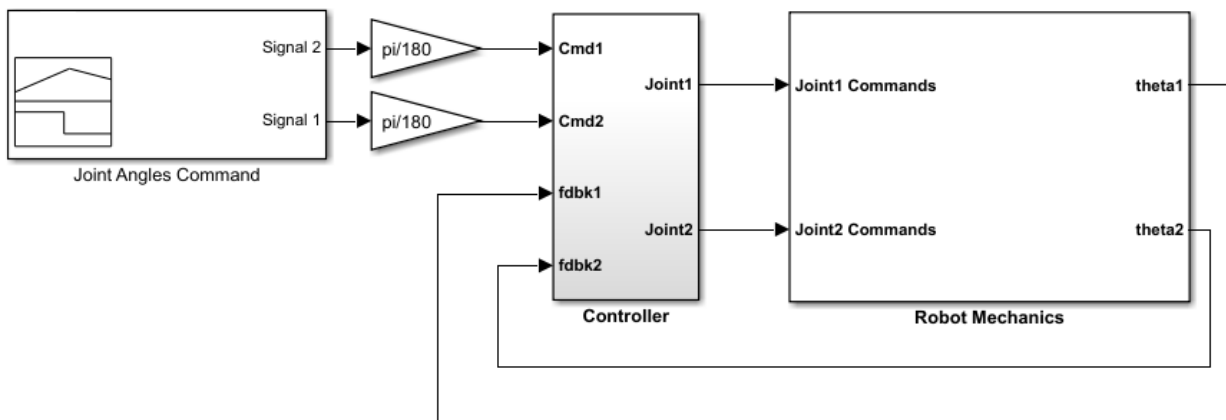
برای استفاده از سیگنال EMG در کنترل بازوی رباتیک، ابتدا باید مدل سازی بازوی رباتیک بر اساس معادلات ریاضی انجام شده و مدل مناسب و دقیقی برای تکرار الگوی رفتاری بازو ایجاد شود.

#### ۱-۳ مدل سازی بازوی رباتیک

مدل سازی با استفاده از بازوی رباتیک که ساختار آن به صورت شکل ۵ می‌باشد و در آن دو مفصل به وسیله یک محور لولایی به هم و به زمین لخت متصل شده‌اند، انجام شده است. بازوی‌های این بازوی رباتیک به صورت میله‌های استوانه‌ای با قطر کم در نظر گرفته شده‌اند. زاویه بازوی دوم نسبت به بازوی اول سنجیده می‌شود [۲۸].

اگر درجه آزادی بازوی رباتیک افزایش یابد، تعداد جملات معادلات دینامیک ربات بیشتر خواهد شد و حل تحلیلی عملأً غیر ممکن می‌گردد. بنابراین ایده استفاده از روش‌های عددی و تکراری مطرح می‌شود (مانند نیوتون-اویلر و ...). که این روش‌ها در صورت ایجاد کوچک‌ترین تغییری در ساختار بازو، نیاز به تکرار مجدد محاسبات خواهند داشت. بنابراین بهترین راه حل برای شبیه‌سازی بازوی رباتیک، استفاده از بسته‌های

1. Training Set
2. Test Set
3. Confusion Matrix
4. Accuracy
5. Specificity



شکل ۶: بلوك دیاگرام شبیه‌سازی یک ربات دو درجه آزادی.

$$u(t) = \theta_u c(t) - \theta_r y(t) \quad (9)$$

$$\begin{aligned} V(e, \theta, \dot{\theta}) \\ = \frac{1}{2} [e^2 + \frac{1}{b\gamma} (b\theta_r + a - a_m)^2 + \frac{1}{b\gamma} (b\dot{\theta}_r - b_m)^2] \end{aligned} \quad (10)$$

$$\begin{aligned} \frac{dV}{dt} = -a_m e^2 + \frac{1}{\gamma} (b\theta_r + a - a_m) \left( \frac{d\theta_r}{dt} - \gamma y e \right) \\ + \frac{1}{\gamma} (b\dot{\theta}_r - b_m) \left( \frac{d\theta_r}{dt} - \gamma u_c e \right) \end{aligned} \quad (11)$$

$$\begin{aligned} \frac{d\theta_r}{dt} = -\gamma u_c e \\ \frac{d\theta_r}{dt} = -\gamma y e \rightarrow \frac{dV}{dt} = -a_m e^2 \end{aligned} \quad (12)$$

در روابط فوق  $\theta_r$  و  $\dot{\theta}_r$  پارامترهای کنترلی هستند که باید در فرایند طراحی، تنظیم، تعیین و به روز شوندن. بنابراین برای طراحی کنترل کننده MRAS باید ابتدا مدل تابع تبدیل مرتبه یک برای سیستم شناسایی شود. سپس مطابق (۵) تا (۱۲) کنترل کننده طراحی گردد. برای این منظور می‌توان از همان توابع تبدیل شناسایی شده استفاده نمود که به ترتیب برای مفصل شماره ۱ و مفصل شماره ۲ بازوی رباتیک مطابق (۱۳) و (۱۴) یعنی  $G_r(s)$  و  $G_v(s)$  هستند. لازم به ذکر است که با توجه به اندک بودن میزان تأخیر تابع تبدیل  $G_v(s)$  نسبت به ثابت زمانی، از آن صرف نظر شده است

$$G_v(s) = \frac{90}{357s + 1} \quad (13)$$

$$G_r(s) = \frac{96}{319s + 1} \quad (14)$$

تابع تبدیل ایدهآل متناظر با  $G_v$  و  $G_r$  نیز در (۱۵) و (۱۶) به صورت  $G_{rv}(s)$  و  $G_{vr}(s)$  ذکر شده‌اند. مبنای انتخاب این توابع تبدیل به عنوان توابع تبدیل ایدهآل، کاهش ثابت زمانی و افزایش سرعت پاسخ سیستم است. همان طور که در (۱۳) و (۱۴) مشاهده می‌شود، ثابت زمانی مفصل ۱ حدود ۴ ثانیه و مفصل ۲ حدود ۳ ثانیه است. این ثابت زمانی برای بازوی ربات زیاد است و بهتر است با طراحی سیستم کنترل، کاهش یابد. ضمناً افزایش سرعت پاسخ سیستم نباید منجر به فراجهش و نوسان و افزایش خطای حالت ماندگار شود [۲۹]

(الف) شناسایی برخط و تنظیم و به روز رسانی پارامترهای کنترلی

هم‌زمان با تغییرات سیستم یا تغییر نقطه کار

(ب) تضمین پایداری و محدودبودن پارامترهای کنترلی (پارامترهای کنترلی به بینهایت میل نمی‌کنند).

در طراحی به روش لیاپانوف، ابتدا خطای سیستم را به دست آورده و با تعریف یک تابع لیاپانوف و برآورده کردن شروط پایداری مجانبی، یک مکانیزم تطبیق به گونه‌ای طراحی می‌شود که خطای به سمت صفر میل کند. لازم به ذکر است که در این روش، همگرایی پارامترها لزوماً رخ نمی‌دهد، اما پارامترها کران دار باقی می‌مانند و پایداری حلقه بسته تضمین می‌شود. در این روش فرض می‌شود که تابع تبدیل معادل سیستم به صورت (۵) است و تابع تبدیل مطلوب که هدفش، رساندن پاسخ به پاسخ حاصل از این تابع تبدیل است، به صورت (۶) می‌باشد

$$G(s) = \frac{Y(s)}{U(s)} = \frac{b}{s+a} \rightarrow \dot{y} = -ay + bu \quad (5)$$

$$G_m(s) = \frac{Y_m(s)}{U(s)} = \frac{b_m}{s+a_m} \rightarrow \dot{y}_m = -a_m y_m + b_m u \quad (6)$$

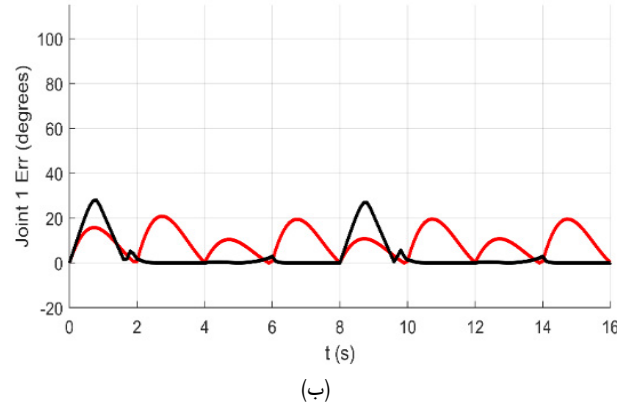
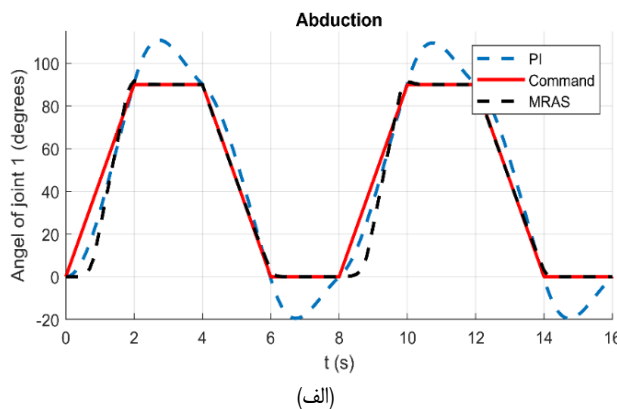
در این روش خطای به صورت (۷) تعریف می‌شود که به معنی اختلاف خروجی با خروجی مطلوب است

$$\begin{aligned} e &= y_m - y \\ \dot{e} &= \dot{y}_m - \dot{y} = -a_m y_m + b_m u + ay - bu \end{aligned} \quad (7)$$

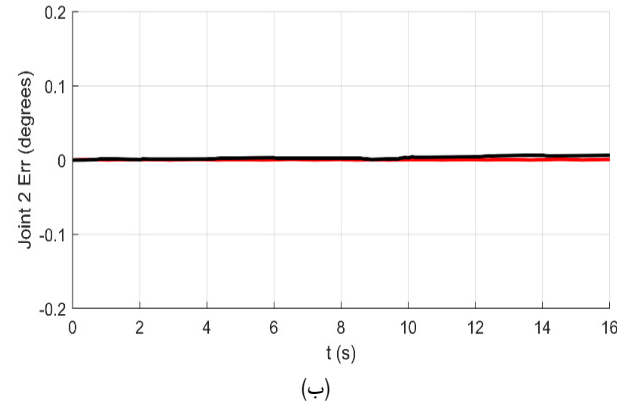
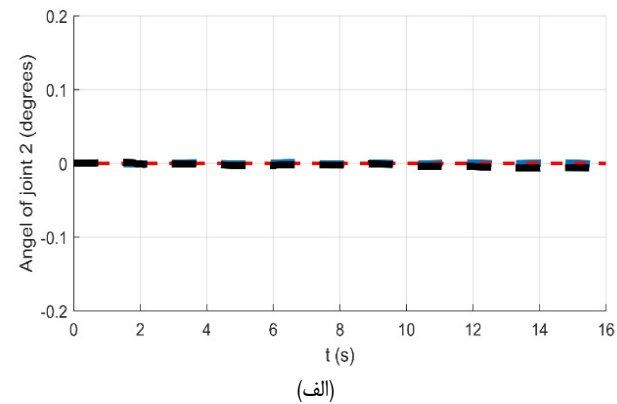
اگر پارامترها به مقدار مطلوب برسند (یعنی  $b \rightarrow b_m$  و  $a \rightarrow a_m$ )، به صورت زیر بازنویسی می‌شود [۳۰]

$$\dot{e} = \dot{y}_m - \dot{y} = -a_m (y_m - y) = -a_m e \rightarrow \dot{e} + a_m e = 0 \quad (8)$$

بنابراین منبعی برای ایجاد خطای وجود نخواهد داشت و در صورتی که مشتق یا دینامیک خطای به صفر برسد، میزان خطای نیز صفر می‌شود. بنابراین برای حل این مسئله، کنترل کننده به فرم کلی (۹)، تابع لیاپانوف نیز به صورت (۱۰)، مشتق آن به صورت (۱۱) و قوانین تنظیم پارامترها به صورت (۱۲) خواهد بود. قوانین تنظیم پارامترها، بر این اساس که مشتق تابع باید همواره منفی باشد تا خطای کاهش یابد، محاسبه می‌شوند. در این روش حتی اگر پارامترها همگرا نشوند، سیستم پایدار است. به علاوه چون مشتق دوم تابع لیاپانوف، تعریف شده و کران دار است،  $dV/dt$  تابعی یکنواخت و پیوسته است و خطای به صفر میل می‌کند. در مقایسه قواعد تطبیق با روش گرادیان، چون ورودی مرجع و خروجی فیلتر نشده‌اند، محاسبات این روش ساده‌تر از روش گرادیان است

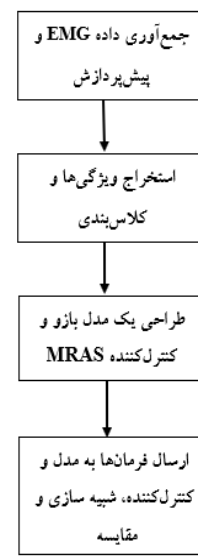


شکل ۸: (الف) شبیه‌سازی حرکت دورشدن (ابداکشن) برای مفصل اول و (ب) نمودار خطای حرکت دورشدن (ابداکشن) برای مفصل اول.



شکل ۹: (الف) شبیه‌سازی حرکت دورشدن (ابداکشن) برای مفصل دوم و (ب) نمودار خطای حرکت دورشدن (ابداکشن) برای مفصل دوم.

مذکور، تنظیم شده است. ردیابی این سیگنال‌های مطلوب، معیار ارزیابی کنترل کننده خواهد بود. در شکل‌های ۸-الف و ۹-الف، نتایج حاصل از اعمال کنترل کننده‌های



شکل ۷: روندnamای روند انجام پژوهش و ایده پیشنهادی.

$$G_{\text{vm}}(s) = \frac{90}{0.5s + 1} = \frac{180}{s + 2} \quad (15)$$

$$G_{\gamma m}(s) = \frac{96}{0.5s + 1} = \frac{192}{s + 2} \quad (16)$$

پیاده‌سازی کنترل کننده MRAS بر اساس نظریه لیاپانوف در نرم‌افزار MATLAB صورت گرفته است.

### ۴- روندnamای روند انجام پژوهش و ایده پیشنهادی

با توجه به توضیحات ارائه شده، ایده پیشنهادی برای کنترل بازوی رباتیک بر مبنای سیگنال‌های EMG به این صورت است: ابتدا داده‌های EMG مربوط به ۲ حرکت بازو از عضلات افراد جمع‌آوری و پیش‌پردازش می‌گردد. سپس ویژگی‌های آنها استخراج شده و کلاس‌بندی به روش LDA جهت تشخیص حرکت بازو و سپس مدل‌سازی بازوی رباتیک صورت می‌گیرد. به منظور کنترل، ربات کنترل کننده تعییقی مدل مرجع بر اساس داده‌های جمع‌آوری و تحلیل شده، طراحی می‌گردد. ایجاد فرمان و ارسال آنها به مدل و کنترل کننده صورت گرفته و در مرحله بعد، مدل و کنترل کننده شبیه‌سازی شده و داده‌های حاصل مورد پردازش و بررسی قرار می‌گیرند. برای ارزیابی ردیابی سیگنال مرجع، از معیار جذر میانگین مربعات خطأ (RMSE) استفاده شده است. روندnamای روند انجام پژوهش و ایده پیشنهادی در شکل ۷ آمده است.

### ۴- شبیه‌سازی و تحلیل نتایج

در این بخش، کنترل کننده‌های MRAS و طراحی شده به مدل به دست آمده، اعمال می‌شوند و نتایج شبیه‌سازی مورد بررسی و تحلیل قرار می‌گیرد. برای شبیه‌سازی حرکات دورشدن (ابداکشن) و خمشدن (فلکشن)، باید تغییر زوایای مفاصل ضمن انجام این حرکات بررسی شود. هر دو حرکت بازو شبیه‌سازی شده‌اند که نتایج شبیه‌سازی برای یکی از حرکات دورشدن (ابداکشن) در این قسمت شرح داده شده و نتایج عددی برای هر دو حرکت در مقاله ذکر گردیده است.

برای بررسی عملکرد سیستم، تغییرات زاویه مطلوب به صورت سیگنال‌های از پیش تعریف شده‌ای در شبیه‌سازی در نظر گرفته شده است. این تغییرات بر اساس زوایای عضلات بازو در انجام دو حرکت

مدل‌سازی توسعه‌یافته، طراحی شده‌اند. شبیه‌سازی بر مبنای هر دو کنترل کننده صورت گرفته و نتایج مقایسه شده‌اند. کنترل کننده PI، کنترل کننده‌ای ساده و کارآمد می‌باشد اما امکان اشباع آن در برخی حرکات وجود دارد. در این مقایسه، MRAS دارای مزایایی نسبت به PI است که شامل این موارد می‌باشد: میزان فراجهش و خطای حالت ماندگار کنترل کننده MRAS از کنترل کننده PI کمتر، تطابق پاسخ MRAS با سیگنال مرجع، بسیار بیشتر و سریع‌تر از PI و سرعت پاسخ آن در مقایسه با PI مناسب‌تر است.

در واقع هدف از این پژوهش دستیابی به مدل و کنترل کننده‌ای است که رفتاری مشابه بازوی انسان ایجاد نماید و قادر به ردیابی حرکات بازوی انسان باشد که این هدف با استفاده از مدل ربات دو درجه آزادی و کنترل کننده تطبیقی مدل مرجع، محقق گردیده است. نتایج و مقادیر خطاهای حاصل شده نشان می‌دهند که انطباق رفتار مدل و کنترل کننده حاصل با الگوی از پیش تعریف شده حرکتی قابل توجه و مورد تأیید است.

## مراجع

- [1] P. Konrad, *The ABC of EMG A Practical Introduction to Kinesiological Electromyography*, pp. 4-6, Noraxon Inc. USA, 2005.
- [2] J. Hamill and K. M. Knutzen, *Biomechanical Basis of Human Movement*, Lippincott Williams & Wilkins, Oct. 2006.
- [3] G. Robertson, G. Caldwell, J. Hamill, G. Kamen, and S. Whittlesey, *Research Methods in Biomechanics Human Kinetics*, 2013.
- [4] F. Sadikoglu, C. Kavalcioglu, and B. Dagman, "Electromyogram (EMG) signal detection, classification of EMG signals and diagnosis of neuropathy muscle disease," *Procedia Computer Science*, vol. 120, pp. 422-429, 2017.
- [5] N. Feng, et al., "A soft robotic hand: design, analysis, sEMG control, and experiment," *The International J. of Advanced Manufacturing Technology*, vol. 97, pp. 319-333, 2018.
- [6] G. Lisi, P. Bellucci, D. Cattaneo, and G. Gini, "From the classification of EMG signals to the development of a new lower arm prosthesis," *IFAC Proceedings Volumes*, vol. 44, no. 1, pp. 6493-6498, Jan. 2011.
- [7] E. Raveh, S. Portnoy, and J. Friedman, "Adding vibrotactile feedback to a myoelectric controlled hand improves performance when online visual feedback is disturbed," *Human Movement Science*, vol. 58, pp. 32-40, Apr. 2018.
- [8] M. Tavakoli, C. Benussi, and J. L. Lourenco, "Single channel surface EMG control of advanced prosthetic hands: a simple, low cost and efficient approach," *Expert Systems with Applications*, vol. 79, pp. 322-332, 15 Aug. 2017.
- [9] I. I. Borisov, O. V. Borisova, S. V. Krivosheev, R. V. Oleynik, and S. S. Reznikov, "Prototyping of EMG-controlled prosthetic hand with sensory system," *IFAC-PapersOnLine*, vol. 50, no. 1, pp. 16027-16031, Jul. 2017.
- [10] P. K. Artemiadis and K. J. Kyriakopoulos, "EMG-based control of a robot arm using low-dimensional embedding," *IEEE Trans. on Robotics*, vol. 26, no. 2, pp. 393-398, Apr. 2010.
- [11] S. Javier Patricio Collahuazo and M. Esteban Fernando Ordoñez, "Design and construction of a robot hand activated by electromyographic signals," in *Proc. IEEE Int. Symp. on Robotic and Sensors Environments Proceedings*, pp. 25-30, Magdeburg, Germany, 16-18 Nov. 2012.
- [12] M. Qingyun, Q. Meng, H. Yu, and X. Wei, "A survey on sEMG control strategies of wearable hand exoskeleton for rehabilitation," in *Proc. 2nd IEEE Asia-Pacific Conf. on Intelligent Robot Systems, ACIRS'17*, pp. 165-169, Wuhan, China, 16-18 Jun. 2017.
- [13] Z. Lu, K. Y. Tong, X. Zhang, S. Li, and P. Zhou, "Myoelectric pattern recognition for controlling a robotic hand: a feasibility study in stroke," *IEEE Trans. on Biomedical Engineering*, vol. 66, no. 2, pp. 365-372, Feb. 2018.
- [14] M. Rossi, et al., "Preliminary results toward a naturally controlled multi-synergistic prosthetic hand," in *Proc. IEEE Int. Conf. on Rehabilitation Robotics, ICORR'17*, pp. 1356-1363, London, UK, 17-20 Jul. 2017.
- [15] <https://myndfitlife.com/big-shoulders-now-killing-exercises/>
- [16] MA-300 EMG System User Guide, Motion Lab Systems, Baton Rouge, LA, 2004.

جدول ۲: مقایسه RMSE داده‌های شبیه‌سازی برای دو کنترل کننده.

نوع حرکت	دورشدن (ابداشن)	الخمشدن (فلکشن)
۳/۹۸۷۹	۵/۴۷۰۴	RMSE-PI

PI و MRAS به مدل شبیه‌سازی برای حرکت دورشدن (ابداشن) به ترتیب برای مفصل اول و مفصل دوم و در شکل‌های -۸- ب و -۹- ب، نمودار خطای این حرکت برای این دو مفصل نمایش داده شده است. در این حرکت، مفصل شماره ۱ به میزان ۹۰ درجه تعییر وضعیت می‌دهد اما مفصل شماره ۲ در صفر درجه ثابت است. ضمناً در شکل‌های -۸- الف و -۹- الف، زاویه مرجع به رنگ قرمز و نتایج حاصل از کنترل کننده‌های PI و MRAS به ترتیب به رنگ‌های آبی و مشکی و در شکل‌های -۸- ب و -۹- ب، نمودار خطای حاصل از کنترل کننده‌های PI و MRAS به ترتیب به رنگ‌های قرمز و مشکی ترسیم شده‌اند. محور افقی، زمان بر حسب ثانیه و محور عمودی، زاویه مفاصل بر حسب درجه است. برای مشاهده دقیق‌تر زوایا، منحنی‌ها برای زمان صفر تا ۱۶ ثانیه ترسیم شده‌اند.

همان طور که در شکل -۸- الف مشاهده می‌شود، در شروع حرکت، کنترل کننده MRAS سریع‌تر از PI عمل کرده اما تا قبل از ثانیه ۲، MRAS عقب‌افتدگی را جبران کرده و پاسخ خود را به پاسخ PI رسانده و حتی کمی زودتر از PI به مقدار نهایی رسیده است. میزان فراجهش و خطای حالت ماندگار کنترل کننده MRAS به شدت از PI کمتر است و کنترل کننده PI ضمن ثانیه ۲ تا ۴، به سختی توانسته پاسخ خود را به مقدار نهایی ۹۰ درجه برساند. به طور کلی، تطابق پاسخ با MRAS سیگنال مرجع، بسیار بیشتر از PI است. بنابراین می‌توان مقایسه مناسبی بین دو کنترل کننده PI و کنترل کننده پیشنهادی MRAS بر مبنای نظریه لیپانوف انجام داد. در این مقایسه، MRAS دارای مزایایی نسبت به PI است که در ذیل درج شده است:

- (۱) میزان فراجهش و خطای حالت ماندگار کنترل کننده MRAS از کنترل کننده PI کمتر است.
- (۲) تطابق پاسخ MRAS با سیگنال مرجع، بسیار بیشتر و سریع‌تر از PI است.

(۳) سرعت پاسخ کنترل کننده MRAS در مقایسه با PI مناسب‌تر است. بنابراین ایده پیشنهادی یعنی طراحی کنترل کننده MRAS بر مبنای نظریه پایداری لیپانوف و پیاده‌سازی آن برای مدل بازوی رباتیک، به نتایج مطلوبی منتج شده است. همچنین در این بخش، انطباق نتایج کنترل کننده PI و MRAS با سیگنال مرجع به صورت عددی مقایسه می‌شود. در جدول ۲، RMSE-PI، میانگین محدود مربعات خطای برای کنترل کننده PI و RMSE-MRAS میانگین محدود مربعات خطای برای کنترل کننده MRAS نشان‌دهنده انطباق بیشتر کنترل کننده MRAS با سیگنال مرجع است.

## ۵- نتیجه‌گیری

در این پژوهش داده‌های EMG از بازوی انسان جمع‌آوری شده و پس از فیلترکردن با هدف رفع نویز، پردازش و ویژگی‌هایی از آنها استخراج شده است. سپس داده‌ها بر اساس این ویژگی‌ها طبقه‌بندی شده و نوع حرکت توسط طبقه‌بند LDA تشخیص داده می‌شود. در مرحله بعد، مدل بازوی رباتیک دو درجه آزادی و سپس کنترل کننده پیشنهادی یعنی کنترل کننده تطبیقی مدل مرجع طراحی و شبیه‌سازی شده و سپس سیگنال فرمان مناسب جهت انجام حرکت مربوطه به آن ارسال می‌شود. هر دو کنترل کننده‌های PI و MRAS مبتنی بر نظریه لیپانوف برای

مهسا برفی مدارک کارشناسی مهندسی برق- گرایش الکترونیک و کارشناسی ارشد مهندسی برق- گرایش کنترل را از دانشگاه بوعلی سینا همدان به ترتیب در سال‌های ۱۳۹۵ و ۱۳۹۹ دریافت نمود. زمینه‌های علمی مورد علاقه نامبرده متعدد بوده و شامل موضوعاتی مانند پردازش سیگنال‌های حیاتی، یادگیری ماشین، یادگیری عمیق، کنترل دست رباتیک و کنترل فازی و عصبی می‌باشد.

حیدرضا کرمی مدرک کارشناسی مهندسی برق از دانشگاه بوعلی سینا، همدان، ایران، در سال ۱۳۸۳ و مدارک کارشناسی ارشد و دکتراً خود را در رشته تحقیقات مخابرات از دانشگاه صنعتی امیرکبیر، تهران، ایران، به ترتیب در سال‌های ۱۳۸۷ و ۱۳۹۲ دریافت نمود. دکتر کرمی به عنوان محقق مدعاو در ۲۰ قنون سال ۲۰۱۳ در دانشگاه پلی‌تکنیک لوزان، سوئیس، مشغول شد. وی در حال حاضر دانشیار مهندسی برق، دانشگاه بوعلی سینا، همدان، ایران و یک محقق ارشد در EPFL است. او بیش از ۸۰ مقاله علمی و کنفرانسی را تالیف کرده یا به صورت مشرک نوشته است. علاوهً تحقیقاتی او شامل سازگاری الکترومغناطیسی (EMC)، روش‌های محاسباتی در الکترومغناطیس، تکنیک‌های آزمایش غیرمخرب مایکروویو، و معکوس‌سازی زمان است..

الهام فراهی در سال ۱۳۹۴ مدرک کارشناسی مهندسی برق- گرایش الکترونیک- خود را از جهاد دانشگاهی همدان و در سال ۱۳۹۹ مدرک کارشناسی ارشد مهندسی برق- گرایش کنترل خود را از دانشگاه بوعلی سینا همدان دریافت نمود. زمینه‌های علمی مورد علاقه نامبرده متعدد بوده و شامل موضوعاتی مانند پردازش سیگنال‌های حیاتی، یادگیری ماشین، یادگیری عمیق، کنترل دست رباتیک و کنترل فازی و عصبی می‌باشد..

فاتمه فریدی مدارک کارشناسی مهندسی مکانیک- گرایش جامدات و کارشناسی ارشد ارشد بیومکانیک ورزشی را از دانشگاه بوعلی سینا همدان به ترتیب در سال‌های ۱۳۷۶ و ۱۳۹۷ دریافت نمود. ایشان هم اکنون دانشجوی مقطع دکتراً بیومکانیک ورزشی دانشگاه بوعلی سینا می‌باشد. زمینه‌های علمی مورد علاقه نامبرده متعدد بوده و شامل موضوعاتی مانند پردازش سیگنال‌های حیاتی، مدل‌سازی اسکلتی- عضلانی، نورومکانیک حرکت انسان و آناتومی بالینی می‌باشد.

سید منوچهر حسینی پیلانگرگی در سال ۱۳۸۵ مدرک کارشناسی مهندسی برق- کارشناسی ارشد که دانشگاه علم و صنعت ایران و در سال‌های ۱۳۸۷ و ۱۳۹۴ و مدرک کارشناسی ارشد و دکتراً مهندسی برق خود را از دانشگاه تهران در گرایش افزارهای نیمه‌هادی دریافت نمود. ایشان از سال ۱۳۹۴ عضو هیأت علمی در گروه برق دانشگاه بوعلی سینا می‌باشد. زمینه‌های علمی مورد علاقه نامبرده متعدد است و بیشتر شیوه‌سازی ادوات نیمه هادی به ویژه مواد دو بعدی می‌باشد.

- [17] R. T. Floyd, *Manual of Structural Kinesiology*, 19th Ed., McGraw-Hill Education, New York, 2015.
- [18] P. K. Artermiadis and K. J. Kyriakopoulos, "A switching regime model for the EMG-based control of a robot arm," *IEEE Trans. on Systems, Man, and Cybernetics, Part B (Cybernetics)*, vol. 41, no. 1, pp. 53-63, Feb. 2010.
- [19] X. Sheng, B. Lv, W. Guo, and X. Zhu, "Common spatial-spectral analysis of EMG signals for multiday and multiuser myoelectric interface," *Biomedical Signal Processing and Control*, vol. 53, Article ID: 101572, Aug. 2019.
- [20] K. Englehart and B. Hudgins, "A robust, real-time control scheme for multifunction myoelectric control," *IEEE Trans. on Biomedical Engineering*, vol. 50, no. 7, pp. 848-854, Jul. 2003.
- [21] A. Nazemi and A. Maleki, "Artificial neural network classifier in comparison with LDA and LS-SVM classifiers to recognize 52 hand postures and movements," in *Proc. 4th IEEE Int.l Conf. on Computer and Knowledge Engineering, ICCKE'14*, pp. 18-22, Mashhad, Iran, 29-30 Oct. 2014.
- [22] D. P. Yang, et al., "An anthropomorphic robot hand developed based on underactuated mechanism and controlled by EMG signals," *J. of Bionic Engineering*, vol. 6, no. 3, pp. 255-263, Sept. 2009.
- [23] I. I. Kuzborskij, A. Gijssberts, and B. Caputo, "On the challenge of classifying 52 hand movements from surface electromyography," in *Proc. of Annual Int. Conf. of the IEEE Engineering in Medicine and Biology Society*, pp. 4931-4937, San Diego, CA, USA, 28 Aug.- 1 Sept. 2012.
- [24] S. Saud, B. Jamil, Y. Upadhyay, and K. Irshad, "Performance improvement of empirical models for estimation of global solar radiation in India: a k-fold cross-validation approach," *Sustainable Energy Technologies and Assessments*, vol. 40, Article ID: 100768, Aug. 2020.
- [25] M. A. Khan, et al., "Geopolymer concrete compressive strength via artificial neural network, adaptive neuro fuzzy interface system, and gene expression programming with K-fold cross validation," *Front. Mater.*, vol. 8, Article ID: 62116, 3 May 2021.
- [26] Y. Tang, Y. Q. Zhang, N. V. Chawla, and S. Krasser, "SVMs modeling for highly imbalanced classification," *IEEE Trans. on Systems, Man, and Cybernetics, Part B (Cybernetics)*, vol. 39, no. 1, pp. 281-288, Feb. 2008.
- [27] A. Prakash, A. K. Sahi, N. Sharma, and S. Sharma, "Force myography controlled multifunctional hand prosthesis for upper-limb amputees," *Biomedical Signal Processing and Control*, vol. 62, Article ID: 102122, Sept. 2020.
- [28] P. K. Artermiadis and K. J. Kyriakopoulos, "EMG-based control of a robot arm using low-dimensional embeddings," *IEEE Trans. on Robotics*, vol. 26, no. 2, pp. 393-398, Apr. 2010.
- [29] S. Sastry and M. Bodson, *Adaptive Control: Stability, Convergence and Robustness*, Courier Corporation, 2011.
- [30] N. Wang, K. Lao, and X. Zhang, "Design and myoelectric control of an anthropomorphic prosthetic hand," *J. of Bionic Engineering*, vol. 14, no. 1, pp. 47-59, Jan. 2017.